

References

1. Magnitsky N.A. Linear Volterra Integral Equations of the first and third kind // Journ. Vychisl. Matem. i matem. fiziki. 1979, t.19, №4, p.970-988.
2. Lavrentev M.M., Romanov V.G., Shishatsky S.P. Ill-posed problems of mathematical physics and analysis. M.: Nauka, 1980, 286 p.
3. Denisov A.M. On the approximate solution of the Volterra equation of the first kind associated with an inverse problem for the heat equation //Vesti. Mosk. Univ-ta, Ser.15 Vychisl. matem. i kibern.- 1980. № 3, - p.49-52.
4. Imanaliev M.I., Asanov A. On solutions of systems of nonlinear Volterra integral equations of the first kind // Doklady AN SSSR, 1989, t-309, №5, p.1052-1055.
5. Imanaliev M.I., Asanov A. On solutions of systems of nonlinear two-dimensional Volterra integral equations of the first kind // Doklady AN SSSR, - 1991, - t.317, № 1, - p.22-35.
6. Imanaliev M.I., Asanov A. On solutions of systems of nonlinear Volterra integral equations of the third kind // Doklady RAN, - 2007, - t.415, № 1, p.14-17.

УДК 539.10

МАТЕМАТИЧЕСКОЕ ОПИСАНИЕ КОНФИГУРАЦИИ УПРУГОЙ ПЛАСТИНЫ ПРИ ИЗМЕНЕНИИ ЕЕ НАПРЯЖЕННО-ДЕФОРМИРОВАННОГО СОСТОЯНИЯ

Дуйшеналиев Т.Б., Аскарбеков Р.Н., Искендер Козубай, Кыргызский государственный технический университет им. И.Раззакова, 720044, г.Бишкек, пр. Мира 66, e-mail: duishenaliev@mail.ru

В статье приводится пример расчета прямоугольной пластины. На основе нетрадиционного решения краевой задачи теории упругости произведен анализ напряженно-деформированного состояния пластины при значительных деформациях и перемещениях.

Ключевые слова: тензор Коши, тензор вращения, перемещение, деформированное состояние, кручение.

MATHEMATICAL DESCRIPTION OF THE ELASTIC PLATES CONFIGURATION AT CHANGE STRESS-STRAIN STATE

Duishenaliev T.B., Askarbekov R.N., Iskender Kozubai, Kyrgyz State Technical University named after I. Razzakov, Bishkek, Kyrgyz Republic, e-mail: duishenaliev@mail.ru

In this article provides an example of calculating a rectangular plate. On the basis of non-traditional solutions of the boundary value problem of elasticity theory analyzed the stress-strain state of the plate with large deformations and displacements.

Keywords: Cauchy tensor, the tensor of rotation, displacement, strain state, torsion.

В работе [1] приведена постановка статической краевой задачи в перемещениях и напряжениях. Установлен порядок составления уравнений равновесия в напряжениях, перемещениях, граничные условия, условия совместности деформаций в компонентах деформаций и напряжений. Предложен новый нетрадиционный подход к решению статической краевой задачи. Получено ее аналитическое решение. На основе этого решения можно установить напряженно-деформированное состояние многих конструкций и элементов.

Обратимся к конкретной задаче о равновесии прямоугольной пластины. В ней декларируется, что тело находится в равновесии в области V , заданной выражениями $-b/2 \leq x_1 \leq b/2$, $0 \leq x_2 \leq \ell$, $-h/2 \leq x_3 \leq h/2$ (рис.1).

Укажем внешние силы p_i на поверхности S .

На гранях, где $x_1 = \pm b/2$, $0 \leq x_2 \leq \ell$, $-h/2 \leq x_3 \leq h/2$: $p_1(b/2, x_2, x_3) = 0$, $p_1(-b/2, x_2, x_3) = 0$. На гранях, где $-b/2 \leq x_1 \leq b/2$, $0 \leq x_2 \leq \ell$, $x_3 = \pm h/2$: $p_3(x_1, x_2, h/2) = 0$, $p_3(x_1, x_2, -h/2) = 0$.

На левой торцевой грани, где $-b/2 \leq x_1 \leq b/2$, $x_2 = 0$, $-h/2 \leq x_3 \leq h/2$: $p_2(x_1, 0, x_3) = -\delta_{12} c x_3$.

На правой торцевой грани, где $-b/2 \leq x_1 \leq b/2$, $x_2 = \ell$, $-h/2 \leq x_3 \leq h/2$: $p_2(x_1, \ell, x_3) = \delta_{12} c x_3$.

Изгибающие моменты на левом и правом торцевых гранях соответственно равны:

$$m_1 = - \int_{-b/2}^{b/2} \int_{-h/2}^{h/2} c x_1^2 dx_1 dx_2 = -cbh^3/12, \quad m_2 = \int_{-b/2}^{b/2} \int_{-h/2}^{h/2} c x_1^2 dx_1 dx_2 = cbh^3/12$$

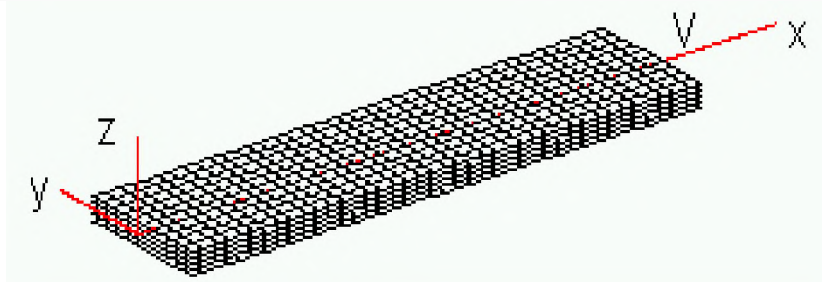


Рис. 1. Прямолинейная плита находится в равновесии.

Решение этой задачи приведено в [1] и оно имеет вид

$$\sigma_{ij} = \delta_{i2} \delta_{j2} c x_3 \tag{1}$$

Этот тензор второго порядка имеет только один отличный от нуля элемент

$$(\sigma_{ij}) = \begin{bmatrix} 0 & 0 & 0 \\ 0 & c x_3 & 0 \\ 0 & 0 & 0 \end{bmatrix}$$

Из (1) определим компоненты линейного тензора

$$\varepsilon_{ij} = \frac{c}{E} x_3 (-\nu(\delta_{i1} \delta_{j1} + \delta_{i3} \delta_{j3}) + \delta_{i2} \delta_{j2}), \tag{2}$$

которые приведем в развернутом виде:

$$\begin{aligned} \varepsilon_{11} &= -\frac{c}{E} \nu x_3, & \varepsilon_{23} &= 0, \\ \varepsilon_{22} &= \frac{c}{E} x_3, & \varepsilon_{31} &= 0, \\ \varepsilon_{33} &= -\frac{c}{E} \nu x_3, & \varepsilon_{12} &= 0. \end{aligned}$$

Этот тензор имеет три отличные от нуля элемента

$$(\varepsilon_{ij}) = \frac{c}{E} \begin{bmatrix} -\nu x_3 & 0 & 0 \\ 0 & x_3 & 0 \\ 0 & 0 & -\nu x_3 \end{bmatrix}.$$

Функции перемещений имеют вид

$$\begin{aligned} u_i(x) &= u_i(x^0) + \omega_{ij}(x^0) (x_j - x_j^0) - \\ &- \frac{c}{E} (\delta_{i1} \nu x_3 (x_1 - x_1^0) - \delta_{i2} x_3 (x_2 - x_2^0) + \delta_{i3} (x_2^2 + \nu(x_3^2 - x_1^2) - \\ &- x_2^0 (2x_2 - x_2^0) - \nu((x_3^0)^2 - x_1^0 (2x_1 - x_1^0))) / 2), \end{aligned} \tag{3}$$

где x_i^0 - любая точка области V , $u_i(x^0)$, $\omega_{ij}(x^0)$ - компоненты перемещения и вращения в выбранной точке x^0 области V .

Из (3) нетрудно определить и компоненты вращения в произвольной точке

$$\omega_{ij}(x) = \omega_{ij}(x^0) - \frac{c}{E} (\nu(x_1 - x_1^0)(\delta_{i1} \delta_{3j} - \delta_{3i} \delta_{1j}) - (x_2 - x_2^0)(\delta_{2i} \delta_{3j} - \delta_{3i} \delta_{2j})) \tag{4}$$

Этот антисимметричный тензор имеет вид следующей матрицы

$$(\omega_{ij}) = \begin{bmatrix} 0 & \omega_{12}(x^0) & \omega_{13}(x^0) - \frac{c}{E} \nu(x_1 - x_1^0) \\ \omega_{21}(x^0) & 0 & \omega_{23}(x^0) + \frac{c}{E} (x_2 - x_2^0) \\ \omega_{31}(x^0) + \frac{c}{E} \nu(x_1 - x_1^0) & \omega_{32}(x^0) - \frac{c}{E} (x_2 - x_2^0) & 0 \end{bmatrix}$$

Наконец с помощью формул (1), (2) можно установить и конфигурацию (объем V_0 , поверхность S_0) начального состояния тела.

Обратимся к вопросу об уровнях деформации. Как сказано выше, величины деформации являются прерогативой только массовых сил и условий на поверхности тела. В качестве произвольной точки x^0 выберем центр поперечного сечения

$$x_2 = \frac{1}{2} l, \text{ т.е. точку } x_1^0 = 0, x_2^0 = \frac{1}{2} l, x_3^0 = 0. \quad (5)$$

Далее, пусть произвольно задаваемые величины - компонент перемещения и вращения в этой точке равны нулю, что не ущемляет общность, ибо они нисколько не сказываются на величинах деформации

$$u_i(x^0) = 0, \omega_{ij}(x^0) = \begin{bmatrix} 0 & 0 & 0 \\ 0 & 0 & 0 \\ 0 & 0 & 0 \end{bmatrix}$$

В данной задаче массовые силы отсутствуют, следовательно, в ней

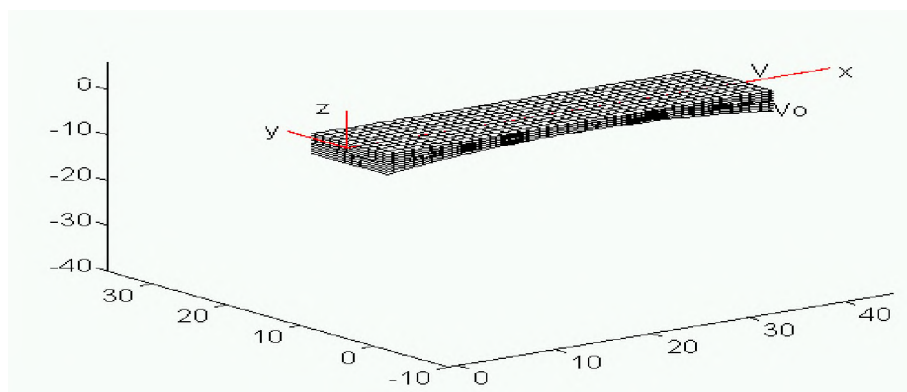


Рис.2. V_0 - сравниваемое, V - конечное состояния плиты.

уровень деформации зависит только от величин внешних сил, приложенных на поверхность тела.

Пусть внешние силы малы, $s = -50$. Подставляя (5), (6), в (3) и используя выражение $z_i = x_i - u_i(x)$, $x_i \in V$ (6), можно установить начальную конфигурацию тела (рис.2)

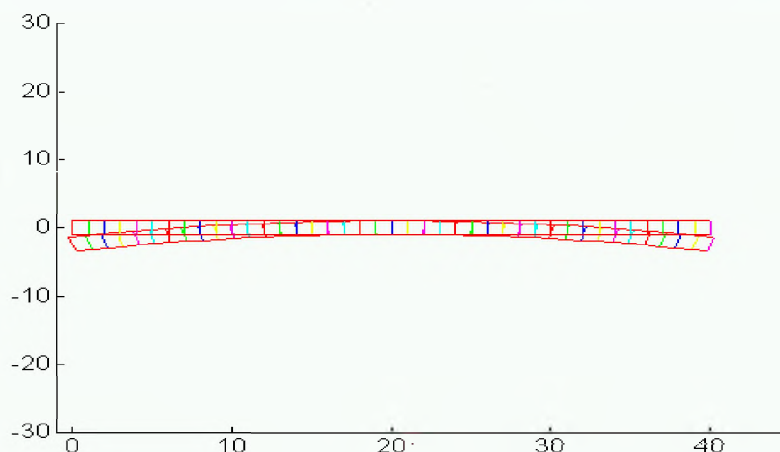


Рис.3. Очертания сечения $x_1 = 0$ в сравниваемом (криволинейное) и конечном (прямолинейное) состояниях.

На рисунках 3 и 4 показаны начальные очертания продольных и поперечных сечений плиты.

Как видно из (2), элементы тензора ε_{ij} зависят только от координаты x_3 . Они достигают наибольших величин в точках верхней и нижней грани плиты. На верхней грани этот тензор имеет вид

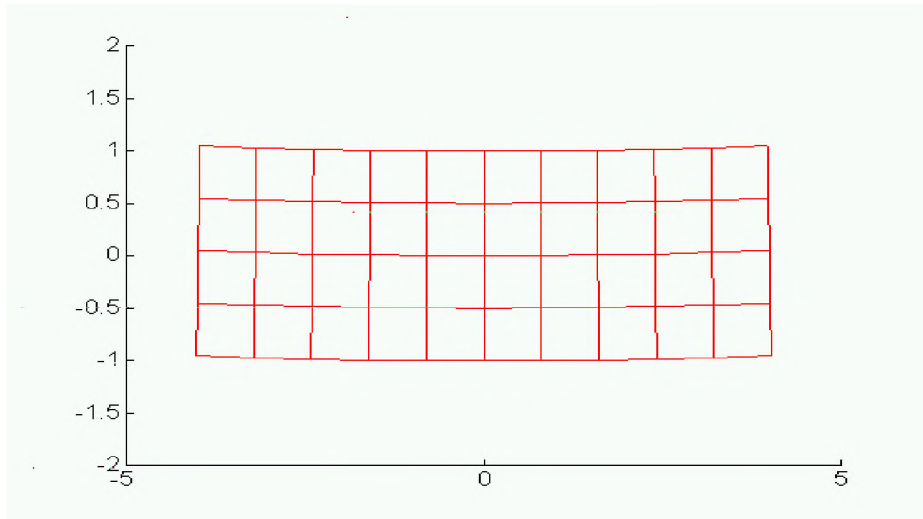


Рис.4. Очертание сечений $x_2=\text{const}$ в сравниваемом состоянии.

$$\varepsilon_{ij}(x_1, x_2, 2) = \begin{bmatrix} .0234 & 0 & 0 \\ 0 & -.0483 & 0 \\ 0 & 0 & .0234 \end{bmatrix}. \quad (7)$$

Тензор вращения, как видно из (4), зависит от координат x_1, x_2 и X_1^0, X_2^0 . Элементы этого антисимметричного тензора достигают наибольших значений в угловых точках правой и левой торцевых граней. К примеру, в точке $(4, 40, 2)$, находящейся в верхнем углу правой грани плиты

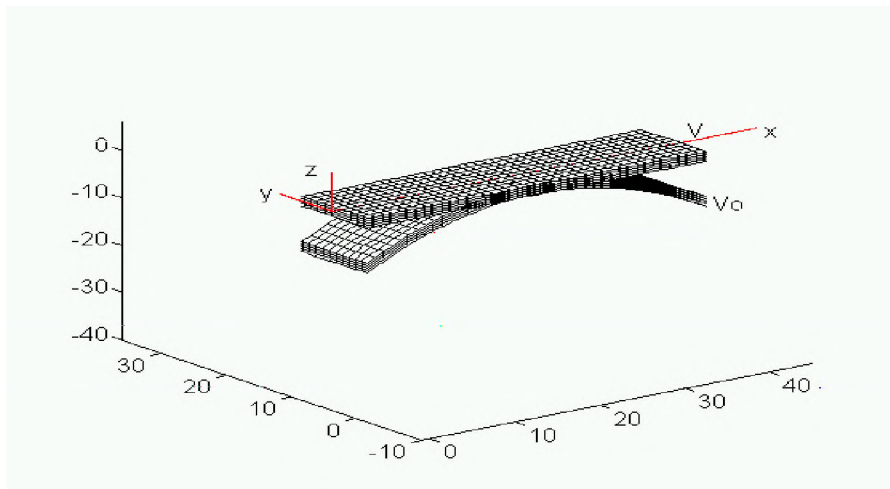


Рис. 5. Сравнимое (V_0) и конечное (V) состояния плиты.

$$\omega_{ij}(4, 40, 2) = \begin{bmatrix} 0 & 0 & 0.0234 \\ 0 & 0 & -0.242 \\ -0.0234 & 0.242 & 0 \end{bmatrix}. \quad (8)$$

Увеличим теперь величины приложенных к поверхности плиты внешних усилий. Пусть $c=-200$. (9)

Здесь нельзя упускать из виду то обстоятельство, что область определения уравнений статической краевой задачи не зависит от величин приложенных внешних усилий. В рассматриваемой задаче определенная область V неизменяема (аксиома равновесия). Величины внешних усилий, как сказано выше, определяют степень напряженности.

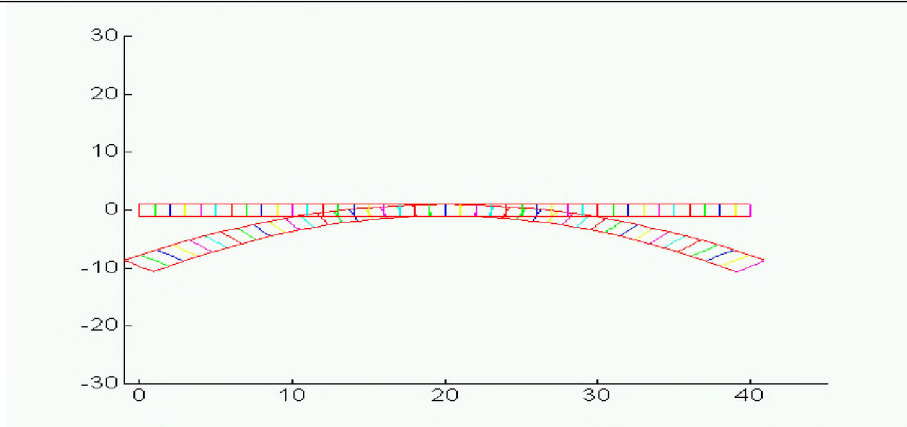


Рис. 6. Сравнимое (криволинейное) и конечное (прямолинейное) очертания сечения $x_1 = 0$.

Подставляя (5), (6), (10) в (5), находим следующее поле перемещений

$$u_i(x_1, x_2, x_3) = \frac{200}{E} (\delta_{i1} v x_3 x_1 - \delta_{i2} x_3 (x_2 - \frac{1}{2}) + \delta_{i3} (x_2^2 + v (x_3^2 - x_1^2) - \frac{1}{2} (2x_2 - \frac{1}{2}))) / 2. \tag{10}$$

Это поле определяет напряжения

$$\sigma_{ij}(x_1, x_2, x_3),$$

которые удовлетворяют уравнениям равновесия и совместности

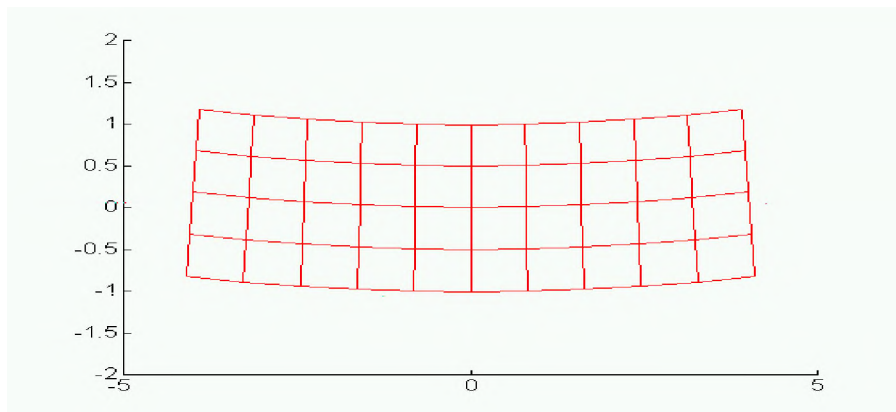


Рис.7. Очертание сечений $x_2 = \text{const}$ в сравнимом состоянии.

деформации в области V и граничным условиям на границе S . Здесь нет обычного координатного различия: в функциях перемещений $u_i(x_1, x_2, x_3)$, напряжений $\sigma_{ij}(x_1, x_2, x_3)$, также как и во всех предыдущих выражениях, только координаты конечного состояния. На рис.6 приведено положение сравнимого состояния плиты, которое обозначено через V_0 . Надо отметить, что в области V_0 нет никаких напряжений, а на ее поверхности S_0 - никаких внешних усилий.

Приведем наибольшие значения ϵ_{ij} , ω_{ij} . Выше были указаны те точки тела, где это имеет место.

$$\epsilon_{ij}(x_1, x_2, 2) = \begin{bmatrix} .0936 & 0 & 0 \\ 0 & -.1932 & 0 \\ 0 & 0 & .0936 \end{bmatrix},$$

$$\omega_{ij}(4, 40, 2) = \begin{bmatrix} 0 & 0 & .0936 \\ 0 & 0 & -.968 \\ -.0936 & .968 & 0 \end{bmatrix}.$$

Здесь мы видим, что линейный тензор ϵ_{ij} является полной характеристикой деформированного

состояния. Его компоненты (2) могут быть бесконечно малыми ($c \rightarrow 0$), малыми ($c = -50$), большими ($c = -200$). В любом из этих случаев этот тензор определяет поле перемещения (формулы Чезаро), из которого можно найти все, что касается деформированного состояния.

Выбрав любое направление π_i в произвольной точке области V , можно определить функции:
 -относительного удлинения в направлении π_i

$$\varepsilon(x_1, x_2, x_3) = \varepsilon_{ij} \pi_i \pi_j,$$

-относительного сдвига на площадке, перпендикулярной к выбранному направлению

$$\gamma(x_1, x_2, x_3) = (\varepsilon_{ki} \varepsilon_{kj} \pi_i \pi_j - \varepsilon^2)^{1/2},$$

-компонент вращения

$$(\omega_{ij}) = \begin{bmatrix} 0 & \varpi_{12}(x^0) & \varpi_{13}(x^0) - \frac{c}{E} v(x_1 - x_1^0) \\ \varpi_{21}(x^0) & 0 & \varpi_{23}(x^0) + \frac{c}{E} (x_2 - x_2^0) \\ \varpi_{31}(x^0) + \frac{c}{E} v(x_1 - x_1^0) & \varpi_{32}(x^0) - \frac{c}{E} (x_2 - x_2^0) & 0 \end{bmatrix},$$

позволяющих найти перемещения от вращения окрестности вокруг ротора поля в этой точке,
 -разности квадратов длин после и до деформации

$$dx^2 - dz^2 = (2\varepsilon - (\varepsilon^2 + \gamma^2) - (2\omega_{kj} \varepsilon_{ki} + \omega_{ki} \omega_{kj}) \pi_i \pi_j) dx^2,$$

-компонент тензора Альманси

$$a_{ij} = \varepsilon_{ij} - \frac{1}{2} u_{k,i} u_{k,j}$$

и так далее.

Наконец, можно построить конфигурацию тела в сравниваемом состоянии. Координаты z_i этого состояния определяются по формулам

$$z_i = x_i - u_i(x) = x_i - (u_i(x^0) + \omega_{ij}(x^0)(x_j - x_j^0) - \frac{c}{E} (\delta_{i1} v x_3(x_1 - x_1^0) - \delta_{i2} x_3(x_2 - x_2^0) + \delta_{i3}(x_2^2 + v(x_3^2 - x_1^2) - x_2^0(2x_2 - x_2^0) - v((x_3^0)^2 - x_1^0(2x_1 - x_1^0))))/2), x_i \in V.$$

Для определения координат поверхности начальной конфигурации тела в предыдущее выражение надо вносить $x_i \in S$.

Список литературы

1. Жакыпбек А.Б., Дуйшеналиев Т.Б. Новое воззрение на некоторые основы механики деформируемого тела. - Бишкек, 1999, 236 с.

References

1. Zhakypbek A.B., T.B. Duyshenaliev. A new view on some of the basics mechanics of body deformation. - Bishkek, 1999, 236 p.

УДК620.10

РАСЧЕТ ОСТАТОЧНЫХ НАПРЯЖЕНИЙ В ИЗОГНУТЫХ СТЕРЖНЯХ ИЗ СПЛАВА С ЭФФЕКТОМ ПАМЯТИ ФОРМЫ

Ибрагимов Рахманберди Шабданович, к.т.н., доцент, КНУ им. Ж. Баласагына, Кыргызстан, 720033, г.Бишкек, ул. Фрунзе, 547, e-mail: rahman.ibragimov.sh@gmail.com

Целью работы является получение простых расчетных формул зависимости распределения деформаций различной природы и остаточных напряжений в поперечном сечении деформируемого на чистый изгиб стержня из сплава с эффектом памяти формы, с использованием гипотез и теорем механики деформируемого твердого тела. Проанализирована природа появления остаточных напряжений в изогнутых стержнях из никелида титана. Характер распределения остаточных напряжений в сплавах с термоупругим мартенситным механизмом не существенно отличается от таковых для сплавов с дислокационным механизмом.

Ключевые слова: эффект памяти формы; схематизация диаграммы растяжения; испытания на изгиб; мартенситная деформация; остаточная неупругая деформация; остаточная упругая деформация; остаточное напряжение.